



ارایه مدل تحلیلی سیستم تحریک واحدهای گازی نیروگاه خیام نیشابور بر پایه آزمایش‌های حوزه زمان

غلامحسن ظفرآبادی
پژوهشگاه نیرو
تهران- ایران

حامد فراحت
پژوهشگاه نیرو
تهران- ایران

الهام امینی بروجنی
دانشگاه تربیت مدرس
تهران- ایران

واژه‌های کلیدی: حداقل مربعات خط، سیستم تحریک نیروگاه، شناسایی حوزه زمان، مدل تحلیلی، واحد گازی نیروگاه خیام نیشابور.

صنعت تحمیل می‌کند. در حال حاضر در شبکه برق ایران، عوامل متعددی بر روی بهره‌برداری مناسب از شبکه، تأثیر منفی گذاشته که منجر به کاهش امنیت شبکه و وقوع خاموشی‌های گسترده در سالیان اخیر شده است. از جمله این عوامل می‌توان به نزدیک شدن حدود بهره‌برداری - بر اساس نیاز مصرف - به ظرفیت‌های شبکه سراسری ایران و عدم بازبینی، بهسازی یا تنظیم مداوم عناصر شبکه بر اساس شرایط روز اشاره کرد. همچنین در این سالیان، رویکرد تجدید ساختار و خصوصی‌سازی صنعت برق و اتصال و تبادل رو به توسعه با کشورهای همسایه اتخاذ گردیده است که با در نظر گرفتن آن لزوم تجدید نظر در شبکه برق مشخص خواهد داشت. مجموع این عوامل ضرورت مطالعه و بررسی جامع شبکه سراسری ایران، برای تشخیص کاستی‌ها و تعیین و اتخاذ راهکارها و رویه‌های بهبود، بیش از پیش نمایان می‌سازد.

با توجه به اینکه سالیان متمادی از نصب تعداد زیادی از نیروگاه‌های کشور می‌گذرد و همچنین با توجه به تغییرات

چکیده

در این مقاله به دنبال ارایه مدل تحلیلی سیستم تحریک واحدهای گازی نیروگاه خیام نیشابور در ایران هستیم. شناسایی انجام شده بر پایه آزمایش‌های حوزه زمان در حین کار سیستم و با استفاده از روش‌های مختلف مبتنی بر حداقل مربعات خط انجام می‌گیرد. در پایان با اعتبارسنجی پارامترهای شناسایی شده به مقایسه مقادیر نامی پارامترها و مقادیر شناسایی شده و نتیجه اعمال این دو، بر روی داده‌های حاصل از آزمایش می‌پردازیم. با وجود درگیر بودن با مشکلات داده‌های عملی و خطای موجود، شناسایی به خوبی انجام گرفته و نتایج اعتبارسنجی تاییدی بر شناسایی صورت گرفته است.

۱- مقدمه

از مهم‌ترین دغدغه‌های مسؤولین و دست اندکاران صنعت برق، بهره‌برداری ایمن از شبکه برق می‌باشد که در صورت نامناسب بودن شرایط بهره‌برداری، هزینه قابل توجهی را به این

بیست و ششمین کنفرانس بین‌المللی برق

منظور شناسایی سیستم تحریک استفاده شده است. از آنجایی که هدف این مقاله، شناسایی سیستم تحریک با استفاده از آزمایش‌های در حین کار و در شرایط عادی است، مدل تحت شناسایی خطی بوده و لذا با توجه به سادگی مدل می‌توان با بهره‌گیری از روش‌های شناسایی بر پایه حداقل مربعات و ترکیب آنها به نتیجه خوبی دست یافت.

ساختار مقاله حاضر به این شکل است: در بخش ۲ معرفی مختصری از سیستم تحریک نیروگاه خیام نیشابور ارایه شده و در بخش ۳ روند انجام آزمایش‌ها معرفی شده‌اند. بخش چهارم به شناسایی پارامترها اختصاص یافته است. در آن بخش، پس از مقدمه‌ای بر روش‌های موجود برای شناسایی، نتایج حاصل از شناسایی سیستم تحریک نیروگاه خیام نیشابور ارایه شده است. به منظور اعتبار سنجی پارامترهای شناسایی شده، در بخش ۵ ضمن مقایسه مقادیر پارامترهای شناسایی شده با مقادیر نامی بلوک‌ها، که از روی المان‌های فیزیکی (مقاومت‌ها و خازن‌ها) خوانده شده است، خطای حاصل از اعمال هر دو دسته پارامتر را بر آزمایشی که در روند شناسایی استفاده نشده، استخراج شده است. در پایان، جمع‌بندی نهایی مقاله در بخش ششم ارائه شده است.

۲- سیستم تحریک نیروگاه نیشابور

نیروگاه سیکل ترکیبی خیام نیشابور دارای شش واحد گازی هر یک با توان نامی [MW] ۱۲۳/۲ می‌باشد. سیستم تحریک ژنراتور این واحدها، ساخت شرکت GEC-ALSTHOM و از نوع ژنراتور AC بدون جاروبک با دیودهای گردان است. قدرت تحریک برای روتور مولد، توسط محرك با دیودهای چرخان که در انتهای محور اصلی ژنراتور قرار دارد تامین می‌شود. همچنین، ولتاژ تحریک بوسیله پل دیودی چرخان که سیم‌پیچ‌های روتور را تغذیه می‌کند، تامین می‌شود. سیستم تحریک را می‌توان به بخش‌های زیر تقسیم کرد:

مدار تحریک: ترکیبی از مبدل‌های قدرت تحریک است که در حالت کارکرد عادی سیستم فعال می‌باشد. در زمان

اساسی در توپولوژی شبکه و نیز انحراف پارامترهای مدل بعضی از اجزاء نیروگاه مثل ژنراتور و توربین نسبت به زمان نصب، واضح است که تنظیمات کنترل کننده‌های این واحدها از حالت بهینه خارج شده است. این امر هم به صورت محلی بر روی پایداری نیروگاه مذکور اثرگذار بوده و می‌تواند حد بهره‌برداری از نیروگاه را به میزان چند مگاوات پایین بیاورد و هم به صورت کلی تر می‌تواند پایداری کل شبکه را تحت تأثیر خود قرار دهد. علاوه بر این، ممکن است که در زمان نصب و راهاندازی نیروگاه، این کنترل کننده‌ها به صورت بهینه تنظیم نشده باشند. همچنین در بسیاری از نیروگاه‌های دارای PSS، بدليل نامناسب بودن تنظیمات، این کنترل کننده از مدار خارج است. مجموعه این عوامل، لزوم انجام مطالعات دقیق پایداری دینامیکی شبکه در واحدهای برنامه‌ریزی و بهره‌برداری شبکه و تنظیم مجدد کنترل کننده‌های واحدهای نیروگاهی کشور با توجه به توپولوژی فعلی آن را آشکار می‌سازد. حتی اگر مدلی کامل از طرف سازنده تجهیزات ارائه شده باشد، بیش از پنج سال اعتبار نداشته و باید مجدد ارزیابی گردد [۱].

روش‌های مختلفی برای انجام آزمایش‌های سیستم‌های قدرت وجود دارد که به دو دسته تقسیم می‌شوند: دسته‌ای آزمایش‌های در حین کار می‌باشد که سیستم قدرت در وضعیت عملکرد معمول قرار دارد. در این آزمایش‌ها، اعمال یک سیگنال اغتشاشی که می‌تواند بزرگ یا کوچک باشد باعث ایجاد اغتشاش در خروجی‌های سیستم می‌گردد. ایجاد اغتشاش باعث تحریک مودهای دینامیکی سیستم شده و با تحریک شدن این مودها می‌توان پارامترهای دینامیکی سیستم را شناسایی نمود. در این آزمایش‌ها، سیستم در وضعیت طبیعی عملکرد خود می‌باشد، بنابراین پارامترهای بدبست آمده نیازی به تصحیح و انتقال به نقطه کار ماشین ندارند [۲ و ۳]. دسته دیگر آزمایش‌ها در شرایطی است که سیستم از شبکه جدا شده است که مورد بحث این مقاله نمی‌باشد.

از طرفی روش‌های موجود برای شناسایی نیز از تنوع زیادی برخوردارند. در مراجعی از قبیل [۴]-[۶] از روش‌های مختلفی همچون تطبیقی، شبکه عصبی و ژنتیک الگوریتم به

بیست و ششمین کنفرانس بین‌المللی برق

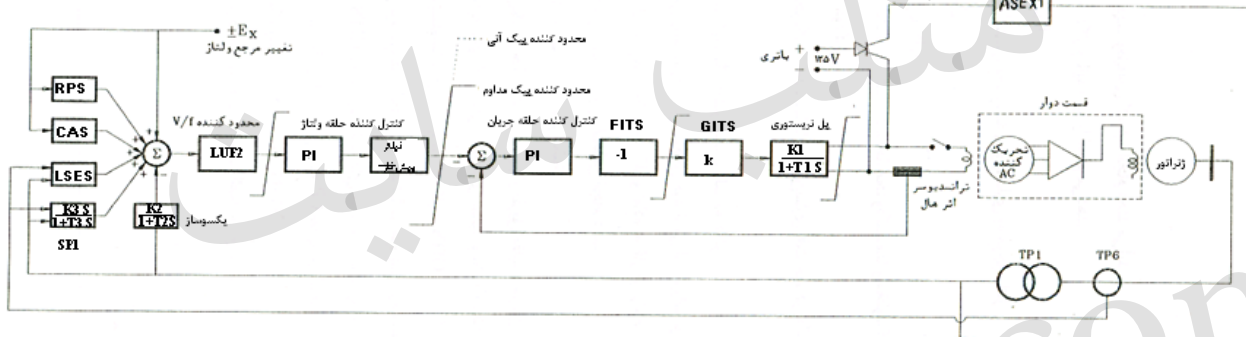
نیشابور [۷]، ساختار مدل سیستم تحریک ارائه شده است. فرم کلی بلوک‌هایی که در شرایط عادی کار سیستم فعال هستند نیز در شکل ۱ مشخص شده است. از مقایسه مدل شکل ۱ با مدل‌های استاندارد سیستم تحریک، نتیجه می‌شود که نزدیکترین مدل استاندارد به این سیستم مدل AC2A است [۸]. سیستم تحریک این مدل از نوع AC و یکسوساز با پاسخ اولیه سریع است، چرا که یک حلقه داخلی فیدبک جریان جهت جبران ثابت زمانی دارد. تنها تفاوت عمده در نبود حلقه پایدارساز داخلی تحریک می‌باشد.

راهاندازی، یک مدار فلاشینگ که توسط باتری ۱۲۵ ولت تغذیه می‌شود، بکار گرفته می‌شود.

مدارهای یکسوساز شامل پل‌های تریستوری کترل شده با تنظیم کننده ولتاژ می‌باشد.

در مدل‌سازی تحلیلی، سیستم اصلی را به زیرسیستم‌های ساده تقسیم و سپس این زیرسیستم‌ها را براساس قوانین فیزیکی حاکم بر آنها مدل کرده و درنهایت برای سیستم اصلی که مجموعه‌ای مرکب از این زیرسیستم‌ها می‌باشد، مدل ریاضی بدست می‌آید.

در شکل ۱، با استفاده از استناد و مدارک نیروگاه گازی



شکل(۱): طرح‌واره سیستم تحریک بدون جاروبک نیروگاه گازی نیشابور

بارداری، استفاده می‌شود [۱۰]. در آزمایش دینامیک لازم است اغتشاشی در سیستم بوجود آید و آثار تحریک مودهای آن ثبت شود تا با پردازش این آثار مدل سیستم در حالت دینامیکی تعیین شود. اگر دامنه اغتشاشات بوجود آمده در سیستم از حدی فراتر برود که خواص غیرخطی آن خود را نشان دهند. آزمایش سیگنال بزرگ صورت گرفته است. در ادامه شناسایی را بر اساس نتایج آزمایش‌های استاتیک و دینامیک انجام میدهیم. که آزمایش‌های دینامیک از دو قسمت بی‌باری و بارداری تشکیل می‌گردد.

۴- روش شناسایی

در این بخش با توجه به مدل تحلیلی بدست آمده از استناد و مدارک نیروگاه گازی نیشابور و نتایج بدست آمده از

۳- روند انجام آزمایش‌ها

آزمایش‌هایی که بر روی سیستم تحریک انجام می‌شوند به سه دسته استاتیک، سیگنال کوچک (دینامیک) و سیگنال بزرگ، تقسیم می‌شوند. در آزمایش استاتیک هیچ سیگنالی از بیرون به سیستم تحریک تزریق نمی‌شود بلکه برخی کمیت‌های حالت ماندگار در نقاط مختلف قرائت یا اندازه‌گیری می‌شوند. آزمایش استاتیک اغلب جهت دستیابی به ضرایب بهره، پارامترهای جبران‌کننده بار و منحنی اشباع تحریک انجام می‌شود [۹]. اگر در مواردی انجام آزمایش دینامیک در حالت بارداری خط‌نراک باشد، فقط در حالت بی‌باری آزمایش دینامیک را انجام داده و از نتایج آزمایش استاتیک که در نقاط مختلف صورت می‌گیرد، جهت اصلاح و جبران مدل دینامیک بی‌باری برای حالت‌های

بیست و ششمین کنفرانس بین‌المللی برق

معمولی از داده‌ها کم می‌شوند. در روش دوم، مدل نویز بیانگر وجود اختشاش‌ها خواهد بود، مانند نویز که در روش‌های RELS، BJ، PEM و ARMAX در نظر گرفته می‌شود [۱۳، ۱۴]. علاوه بر موارد فوق، می‌توان با اصلاحی در الگوریتم تعیین پارامترهای تابع تبدیل مدل دقیق‌تری بدست آورد [۱۵].

شناسایی مدل سیستم تحریک نیروگاه خیام

با توجه به داده‌های اعتبار سنجی شده، پس از فیلترینگ و حذف نویز در سیگنال‌های اندازه‌گیری شده، به شناسایی پارامترهای بلوک‌های مختلف سیستم تحریک می‌پردازیم. معیار بهترین نتیجه، درصد خطای ایجاد شده بین خروجی شبیه سازی شده مدل، \hat{y}_t ، و خروجی واقعی بلوک، y_t ،

$$SSE = \frac{\sum_{k=1}^N (y_t(k) - \hat{y}_t(k))^2}{\sum_{k=1}^N y_t^2(k)} \times 100$$

می‌باشد که با معادله

نشان داده می‌شود.

لازم به ذکر است که شناسایی‌های انجام شده در این مقاله بر اساس کمینه‌سازی مربعات خطأ به روش‌های مختلف از قبیل ARMAX، BJ، PEM انجام شده است. در روش‌های مذکور نویز سفید نیز در مدل حوزه زمان لحاظ شده است. به منظور اطلاع بیشتر از روش‌های ذکر شده می‌توان به مرجع [۱۶] مراجعه کرد. در نهایت نتیجه آن روشی که بهترین پاسخ را می‌دهد، به عنوان نتیجه نهایی انتخاب می‌شود. برای دستیابی به بهره فیدبک حلقه جریان با استفاده از آزمایش‌های استاتیک و با میانگین‌گیری از این مقادیر می‌توان با تقریب خوبی ادعا کرد: $k=0.031$.

نتایج شناسایی تمامی بلوک‌ها در آزمایش‌های مختلف و در نهایت بلوک پیشنهادی در جدول ۱ و ۲ آمده است.

آزمایش‌های انجام شده پارامترهای مدل شناسایی می‌شوند. به این روش شناسایی که ساختار مدل از روش تحلیلی و مقدار پارامترهای مدل به کمک آزمایش بدست می‌آیند مدل‌سازی ترکیبی می‌گویند.

پارامتری را قابل شناسایی گویند که با استفاده از اطلاعات ورودی و خروجی اندازه‌گیری شده بتوان یک و فقط یک مقدار برای آن بدست آورد [۱۱]. جهت استفاده از نتایج بدست آمده از آزمایش‌ها نخست سیگنال‌هایی که برای ثبت آنها از مقسم استفاده شده است را، به مقدار واقعی تبدیل می‌کنیم. داده‌های بدست آمده ممکن است چنان نباشند که به طور مستقیم برای شناسایی بکار روند، بلکه نواقصی در آنها هست که باید مدنظر قرار گیرند از جمله:

۱. اختشاشات فرکانس بالا در داده‌های ثبت شده که غالباً بالاتر از فرکانس‌های مورد علاقه در دینامیک سیستم هستند.

۲. تغییرات شدید و ناگهانی

۳. سطوح ثابت، اختشاشات فرکانس پایین که گاهی پریودیک هستند.

در صورت ملاحظه اختشاشات نوع ۱، احتمالاً پریود نمونه‌بردای و فیلتر پیش از نمونه‌بردای درست انتخاب نشده‌اند که می‌توان با فیلتر ضد داخل دیجیتال و نمونه‌بردای مجدد از داده‌ها اثر آن را کم کرد. وجود اختشاش‌هایی با دامنه زیاد ولی مدت زمان کم ممکن است تاثیرات اساسی در تخمین بگذارد.

بنابراین، با الگوریتم‌های شناسایی مناسب باید تاثیر داده‌های بد را کم کرد [۱۲]. اختشاشات فرکانس پایین و وجود سطوح ثابت در داده‌ها، مساله غیرمعمولی نیست. این موارد می‌توانند از منابع خارجی که ممکن است در مدل در نظر گرفته نشده باشند، سرچشمه گیرد. دو روش متفاوت برای در نظر گرفتن چنین مواردی وجود دارد:

۱. حذف اختشاشات با پردازشی مقدماتی بر روی داده‌ها

۲. افزودن مدل نویز جهت مدل کردن اختشاشات در روش نخست، سطوح ثابت و اختشاش‌ها با تفريقي

بیست و ششمین کنفرانس بین‌المللی برق

جدول ۱: بلوک‌های شناسایی شده و پیشنهاد شناسایی سیستم تحریک نیروگاه خیام از داده‌های آزمایش‌های مختلف

آزمایش - موج اعمال شده	گین نشان دهنده مدل تریستور و GITS کارت	مدل کنترل کننده یکسوساز	اکسایتر	SP1	کنترل کننده حلقه جریان
۷۵ mV ، موج مرربعی ۲۰MW	۱۷.۷۸۵۱	$\frac{0.060822}{1+0.032032s}$	$\frac{1.3674}{1+0.18997s}$	$\frac{-1.0335s}{1+1.009s}$	$0.9821 + \frac{0.625}{s}$
mV ۲۰MW ۱۰۰	۱۷.۷۷۷۳	$\frac{0.060814}{1+0.022512s}$	$\frac{1.3701}{1+0.17617s}$	$\frac{-1.0443s}{1+1.015s}$	$0.9844 + \frac{0.625}{s}$
۵۰ mV ، موج مرربعی ۵۰MW	۱۶.۷۳۴۴	$\frac{0.060871}{1+0.059369s}$	$\frac{1.4820}{1+0.22966s}$	$\frac{-1.03s}{1+s}$	$0.9862 + \frac{0.625}{s}$
mV ۵۰MW ۱۰۰	۱۶.۶۹۱	$\frac{0.060856}{1+0.0053604s}$	$\frac{1.4817}{1+0.001s}$	$\frac{-1.0456s}{1+1.0157s}$	$0.9868 + \frac{1.25}{s}$
۲۵ mV ، موج مرربعی ۸۰MW	۱۵.۴۲۰۲	$\frac{0.060828}{1+0.050168s}$	$\frac{1.6266}{1+0.26631s}$	$\frac{-1.0277s}{1+1.008s}$	$0.9858 + \frac{1.25}{s}$
mV ۸۰MW ۱۰۰	۱۵.۳۱۶۴	$\frac{0.06088}{1+0.013438s}$	$\frac{1.6312}{1+0.19762s}$	$\frac{-1.051s}{1+1.0226s}$	$0.9874 + \frac{1.25}{s}$
پیشنهاد	۱۵.۵	$\frac{0.0608}{1+0.03s}$	$\frac{1.55}{1+0.2s}$	$\frac{-1.04s}{1+1.01s}$	$0.986 + \frac{1.2}{s}$

جدول ۲: بلوک‌های شناسایی شده و پیشنهاد شناسایی کنترل کننده حلقه ولتاژ سیستم تحریک نیروگاه خیام از داده‌های آزمایش‌های مختلف

آزمایش - موج اعمال شده	کنترل کننده حلقه ولتاژ
MW ۲۰mV۷۵ ، موج مرربعی	$\frac{7.2(s+0.4)(0.058909s+1)}{s(1+0.037274s)}$
MW ۲۰mV۱۰۰ ، موج مرربعی	$\frac{7.05(s+0.4)(0.061394s+1)}{s(1+0.03251s)}$
MW ۵۰mV۵۰ ، موج مرربعی	$\frac{7.4(s+0.4)(0.81964s+1)}{s(1+0.8393s)}$
MW ۵۰mV۱۰۰ ، موج مرربعی	$\frac{7.3875(s+0.4)(0.077227s+1)}{s(1+0.048236s)}$
MW ۸۰mV۲۵ ، موج مرربعی	$\frac{7.503(s+0.4)(0.062637s+1)}{s(1+0.057556s)}$
MW ۸۰mV۱۰۰ ، موج مربعی	$\frac{7.38(s+0.4)(0.087366s+1)}{s(1+0.065298s)}$
پیشنهاد	$\frac{7.35(s+0.4)(0.07s+1)}{s(0.045s+1)}$

تر و نشان دادن صحت نتیجه حاصله در قدم اول بلوک‌های پیشنهادی شناسایی انجام شده را با بلوک‌های نامی موجود در استناد و مدارک [۷] که نتیجه حاصل از آن در جدول ۳ نشان داده شده است مقایسه میکنیم.

۵- اعتبارسنجی پارامترها

گرچه در نگاهی گذرا به مراجعی از جمله [۱۶] که شناسایی پارامترهای سیستم تحریک نیروگاه رجایی را انجام داده است. خطاهای شناسایی در این شناسایی قابل قبول ترو نتایج بدست آمده منطقی تر است لیکن به منظور بررسی دقیق

بیست و ششمین کنفرانس بین‌المللی برق

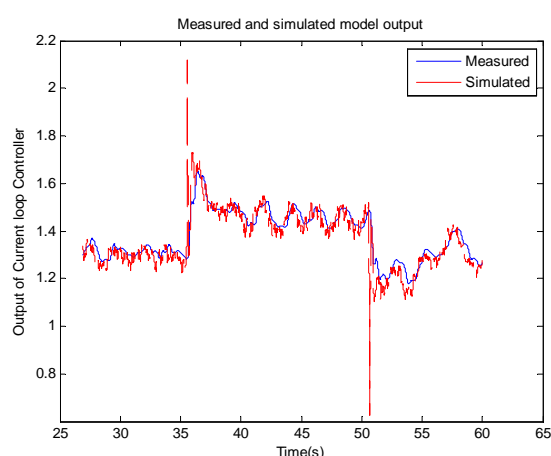
مقادیر آنها موجود است خطای مربوطه بیشتر شده است که این مسئله تاییدی است بر وجود اختلاف مقادیر شناسایی شده و نامی پارامترها که با گذشت زمان ایجاد شده است.

جدول ۴: درصد خطای ناشی از مدل پیشنهادی در آزمایش ۸۰MW

با اعمال موج مربعی ۷۵ mV

بلوک	درصد مربعات خطای با پارامترهای شناسایی شده	درصد مربعات خطای با پارامترهای نامی
پل نیم موج تریستوری GITS و کارت	۶.۶۵۰۶	۱۳.۲۰۴۷
یکسوساز ولتاژ ترمینال	۰.۰۰۰۶۲	۰.۰۰۰۶۲
اکسایت	۰.۲۸۱۴	۰.۲۸۳۴
SP1	۰.۰۵۷۷	۰.۰۶۷۹
کنترل کننده حلقه جریان	۰.۲۸۴۲	۰.۶۰۴۱
کنترل کننده حلقه ولتاژ	۰.۹۵۱۸	۱.۱۷۵۴

به منظور شهود بهتر شناسایی انجام شده، در شکل‌های ۲ تا ۴ خروجی اندازه‌گیری شده این آزمایش و نتایج شبیه‌سازی شده بلوک‌های جریان، ولتاژ و پل نیم موج تریستوری که از اصلی‌ترین بلوک‌های سیستم تحریک هستند به ازای پارامترهای شناسایی شده نشان داده شده است.



جدول ۳: مقادیر نامی برخی از بلوک ها

بلوک	مقادیر نامی
کنترل کننده حلقه جریان	$1 + \frac{1}{s}$
کنترل کننده حلقه ولتاژ	$\frac{5.94(s + 0.33)(0.1s + 1)}{s(0.03s + 1)}$
بهره فیدبک حلقه جریان	۰.۰۲۹
SP1	$\frac{Ts}{Ts + 1}$

گرچه هم در آزمایش‌های انجام شده و مقادیر بدست آمده و هم در روند شناسایی پارامترها احتمال خطأ وجود دارد لیکن همانطور که مشاهده می‌شود اختلاف بین بلوک‌ها در حالت نامی و نتیجه حاصل از شناسایی بسیار به هم نزدیک بوده و تفاوت موجود نیز امری طبیعی است که در اصل لازمه شناسایی انجام شده می‌باشد تا تاثیر مرور زمان را بر تغییرات پارامترها بدست آوریم. جهت اطمینان از وجود این تغییرات در قدم بعدی به منظور بررسی صحت نتیجه حاصله، به مقایسه خروجی واقعی و شبیه‌سازی شده در آزمایش ۸۰MW ۷۵ mV که در فرایند شناسایی، با اعمال موج مربعی ۷۵ mV به این داده نشان داده شده است.

در شبیه‌سازی این داده‌ها سعی شده تا حتی المقدور سیستم را حلقه بسته در نظر بگیریم. از آنجاییکه کنترل کننده حلقه ولتاژ بعلت سیگنال‌های اندازه گیری نامطلوب به خوبی شناسایی نشد مدار را در این قسمت باز کرده ایم. بسته بودن مدار باعث می‌شود تا خطأ و نویز سیگنال‌ها بر هم سوار شوند. با این وجود خطای نشان داده شده در جدول ۴ به ازای پارامترهای شناسایی شده در حد قابل قبولی است و در مواردی هم که خطأ به نظر زیاد میرسد عموماً خطأ ناشی از بایاس ثابت است که در داده‌های اندازه گیری وجود دارد و در شبیه‌سازی ظاهر نمی‌شود. از طرفی همانطور که در جدول ۴ مشاهده می‌شود با اعمال پارامترهای نامی در بلوک‌هایی که

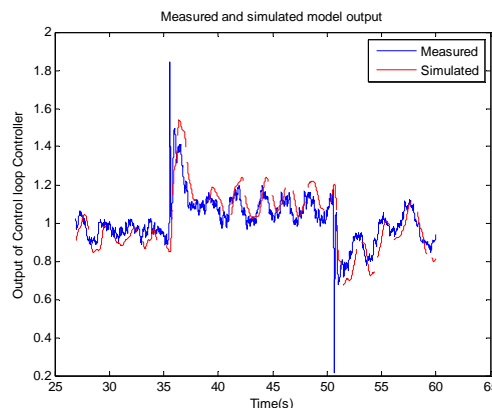
بیست و ششمین کنفرانس بین‌المللی برق

همکاری مدیریت شبکه ایران انجام گرفته است. نویسندها این مقاله از تمامی دست اندکاران، به ویژه کارشناسان نیروگاه خیام نیشابور کمال تشکر را دارند.

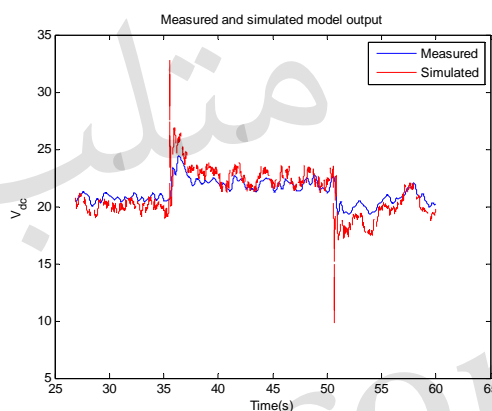
مراجع

- [1] G. Rogers, "Demystifying Power System Oscillations", IEEE, Computer Applications in Power, Vol. 9, No. 3, pp. 30-35, July 1996.
- [2] گروه ماشین‌های الکتریکی، "مشخصات استاندارد ژنراتورهای سنکرون نیروگاه‌های بخاری، گازی و آبی، پارامترهای دینامیکی ژنراتورهای سنکرون و روش‌های تعیین آنها"، پژوهشکده برق، پژوهشگاه نیرو، ۱۳۷۹.
- [3] حسام میرعبدیینی، "تشخیص خطأ در ژنراتور با استفاده از تعیین پارامترهای ژنراتور در حین کار"، گروه مطالعات دینامیک، بخش برق، مرکز تحقیقات نیرو، شهریور ۱۳۷۷.
- [4] S.Thomson, K. Rothenhagen, F.W. Fuchs, "Online Parameter Identification Methods for Doubly fed Induction generators", Power Electronics Specialists Conference(PESC2008), pp. 2735-2741, 2008.
- [5] M.Rahimpour, M.A. Talebi, H.A. Shayanfar, M. R.A. Hosseini, "Online synchronous generator parameters estimation based on applying small disturbance o excitation system using ANN", Power system Conference and exposition(PSCE'09), pp. 1-4, 2009.
- [6] B. Tianshu, X. Ancheng, X. Guoyi, G. Xiaolong, G. Fei, W. Zhengfeng " Online parameter identification for excitation system based on PMU data", Critical Infrastructures,Fourth International conference on(CRIS 2009), pp.1-4, 2009.
- [7] اسناد و مدارک نیروگاه گازی نیشابور: Volume 2C
- [8] IEEE Std 421.2-1990, "IEEE Guide for Identification, Testing and Evaluation of the Dynamic Performance of Excitation Control Systems".
- [9] "گزارش فاز مطالعاتی تعیین پارامترهای دینامیکی سیستم تحریک"، متن، ۱۳۷۳.
- [10] "گزارش تخمین پارامترهای دینامیکی سیستم تحریک و کنترل اتوماتیک ولتاژ نیروگاه شهید رجائی"، متن، ۱۳۷۵.

شکل(۲): خروجی واقعی و شبیه سازی شده کنترل کننده حلقه جریان



شکل(۳): خروجی واقعی و شبیه سازی شده کنترل کننده حلقه ولتاژ



شکل(۴): خروجی واقعی و شبیه سازی شده پل نیم موج تریستوری و GITS کارت

۶- نتیجه‌گیری

در این مقاله به دنبال ارایه مدل تحلیلی سیستم تحریک واحدهای گازی نیروگاه خیام بر پایه آزمایش‌های شناسایی در حوزه زمان هستیم. در ادامه شناسایی انجام شده به اعتبار سنجی پارامترها پرداخته ایم. همانگونه که از مقایسه نتایج شناسایی و مقادیر نامی پارامترها مشاهده می شود اختلاف جزئی ای وجود دارد که با گذشت زمان و انحراف پارامترها ایجاد شده و این اختلاف پدیده ای طبیعی است. خطای کوچک موجود در شناسایی و نتایج شبیه سازی تاییدی بر پارامترهای شناسایی شده می باشد.

سپاسگزاری

این پژوهه بخشنی از پژوهه ای با کد PEMMS02 می باشد که توسط گروه ماشینهای الکتریکی پژوهشگاه نیرو و با

بیست و ششمین کنفرانس بین‌المللی برق

[۱۱] دکتر مهدی کراري، "جزوه درس شناسايي سیستم‌ها"، دانشگاه صنعتي اميرکبير، ۱۳۷۷.

[۱۲] مهدی کراري، «گزارش تعیین پارامترهای دینامیکی سیستم تحریک نیروگاه گازی شهید رجائی واحد شماره ۲»، شرکت متن، ۱۳۷۹.

[۱۳] "گزارش تعیین پارامترهای دینامیکی گاورنر"، متن، ۱۳۷۴.

[14] L.Ljung, "System Identification, Theory for User", Prentice Hall, 1987.

[۱۵] "گزارش تعیین پارامترهای دینامیکی ژنراتور سنکرونون"، متن، ۱۳۷۴.

[16] M. Rasouli, M. Karrari, " Nonlinear Identification of a Brushless Excitation System Via Field Tests", IEEE Trans on energy Conversion, Vol. 19, No. 4, pp. 733-740, 2004.

[17] M. Harunur-Rashid, "Power Electronics, Circuits, Devices and Applications", Prentice Hall, 1988.

[۱۸] پرابهایا شانکار کندور، "پایداری و کنترل سیستم‌های قدرت"، ترجمه حسین سیفی، علی خاکی صدیق، انتشارات تریت مدرس، ۱۳۷۶.

[19] S. G. Dukelow, "The Control of Boilers", Second Edition, ISA, 1991.